PACS 76.60.-k УДК 537.9/.635

## ЯМР характеристики ионов $Fe^{3+}$ при изменении концентрации изотопа $^{57}Fe$ в $BaFe_{12}O_{19}$

## А.А. Безлепкин, С.П. Кунцевич, В.И. Костюков

anatoliy.a.bezlyepkin@univer.kharkov.ua Харьковский национальный университет имени В.Н. Каразина Украина, 61077, Харьков, пл. Свободы, 4

Изучены спектры спинового эха и скорость релаксации ядер  $^{57}$ Fe в гексаферрите BaFe $_{12}$ O $_{19}$  с естественным содержанием изотопа  $^{57}$ Fe (2,21%) и в феррите, обогащенном до 95%. Установлено, что при низких температурах уменьшение концентрации изотопа железа  $^{57}$ Fe от 95% до 2,21% не приводит к изменению частот ЯМР и существенному изменению скорости продольной и поперечной ядерной релаксации. Показано, что сул-накамуровское взаимодействие не вносит существенного вклада в скорость спин-спиновой релаксации.

Ключевые слова: ЯМР, спектр, изотоп, релаксация.

Вивчені спектри спінової луни та швидкість релаксації ядер  $^{57}$ Fe в гексафериті Ва $Fe_{12}O_{19}$  з природнім вмістом ізотопу  $^{57}$ Fe (2,21%) та фериту, збагаченого до 95%. Установлено, що при низьких температурах зменшення концентрації ізотопу заліза  $^{57}$ Fe від 95% до 2,21% не приводить до зміни частот ЯМР та швидкості ядерної релаксації. Показано, що сул-накамурівська взаємодія не вносить суттєвого внеску в швидкість спін-спінової релаксації.

Ключові слова: ЯМР, спектр, ізотоп, релаксація.

Spectra of a spin echo and relaxation rate of  $^{57}$ Fe nuclei in hexaferrite BaFe $_{12}O_{19}$  with the natural content of  $^{57}$ Fe isotope (2,21%) and with ferrite enriched to 95% are studied. It is found out that at low temperatures the reduction of concentration of an isotope of iron  $^{57}$ Fe from 95% to 2,21% does not lead to a change of frequencies of a nuclear magnetic resonance, nor to an essential change of the rate of a spin-lattice and spin-spin nucleus relaxation. It is shown that Sul-Nakamura interaction does not make an essential contribution to the rate of spin-spin relaxation.

Keywords: NMR, spectra, isotope, relaxation.

При исследовании ЯМР в многоподрешеточных магнетиках на ядрах ионов железа возникает необходимость проводить обогащение образцов изотопом 57 Fe, ядра которого обладают спиновым магнитным моментом. Обогащение позволяет существенно увеличить сигналы ЯМР, дополнительные возможности при экспериментальных исследованиях. Связь ядерной и электронной подсистем определяется сверхтонким взаимодействием, увеличение концентрации изотопа <sup>57</sup> Fe может привести к сдвигу резонансных частот обеих подсистем и к изменению времени релаксации. В связи с этим в данной работе изучены ЯМР характеристики гексаферрита BaFe<sub>12</sub>O<sub>19</sub> с естественным содержанием изотопа <sup>57</sup>Fe (2,21%) и обогащенного до 95%.

## Образцы и методика измерений

В качестве образцов использовались

монокристаллы гексаферрита  $BaFe_{12}O_{19}$  (BaM), выращенные методом раствора в расплаве флюса. Для выращивания кристаллов использовался флюс  $BaO \times B_2O_3$ . Кристаллизация производилась на вращающуюся затравку в интервале температуры 1420-1300 К. Фазовый состав кристаллов контролировался рентгенографическим методом. Постоянные кристаллической решетки при комнатной температуре: a=0,589 нм, c=2,32 нм. Образцы имели геометрические размеры  $\sim 6$  мм в базисной плоскости и  $\sim 5$  мм вдоль гексагональной оси  $\mathbf{c}$ .

ЯМР изучался методом спинового эха на ядрах, локализованных в доменах, при больших уровнях возбуждающего напряжения на радиочастотном контуре ( $\sim$ 1,5 кВ). Длительность импульсов, формирующих сигналы эха, составляла 3-10 мкс. Использовались двух- и трехимпульсные последовательности возбуждающих импульсов. Для трехимпульсной последовательности зависимость амплитуды эха  $\Lambda$  от  $\tau_{23}$  задается выражением [1]

$$A \approx A_0 \exp\left(-\frac{2\tau_{12}}{T_2} - \frac{\tau_{23}}{T_1}\right) \tag{1}$$

а для двухимпульсной последовательности формирования спинового эха зависимость амплитуды сигналов эха от  $\tau_{12}$  описывается соотношением

$$A = A_0 \exp\left(-\frac{2\tau_{12}}{T_2}\right),\tag{2}$$

где  $\tau_{12}$  — время задержки между первым и вторым возбуждающими импульсами,  $T_1$  — время спинрешеточной (продольной) релаксации,  $T_2$  — время спинспиновой (поперечной) релаксации.

## Экспериментальные результаты и обсуждение

Наиболее интенсивные сигналы спинового эха наблюдались от ядер подрешеток a (12k), и c (4f<sub>1</sub>). В табл. 1 приведены значения частот ЯМР ядер этих подрешеток при температуре 77 К. Как следует из данных таблицы, частоты ЯМР соответствующих подрешеток обогащенного и необогащенного ферритов совпадают. Это, по-видимому, обусловлено тем, что сдвиг частот ЯМР  $\Delta \omega$  при возникновении связанных электронно-ядерных колебаний пропорционален отношению ядерной намагниченности m к электронной M [2]

$$\Delta\omega \sim \eta \, \frac{m}{M} \tag{3}$$

где  $\eta$  – коэффициент усиления, имеющий величину 10-30.

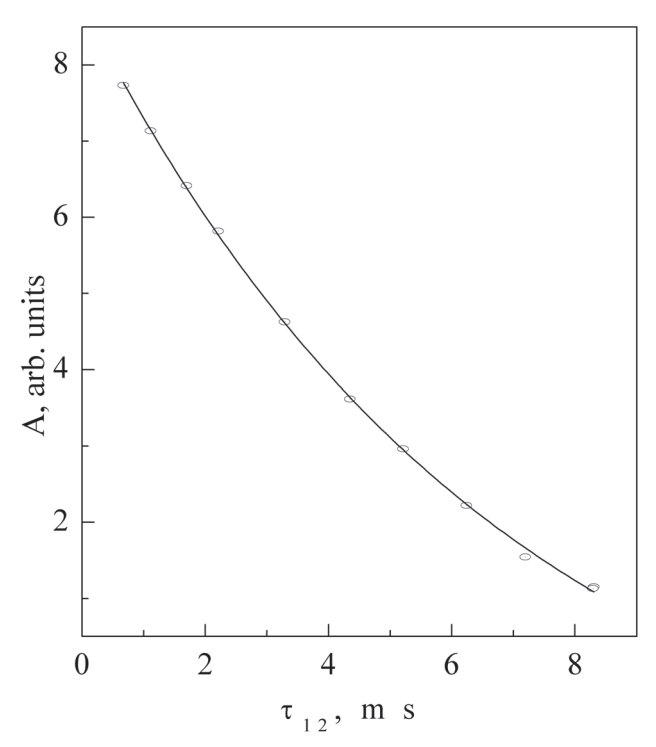
Вследствие того, что  $m \ll M$  , величина  $\Delta \omega$  мала и экспериментально не зафиксирована.

Величины эхо сигналов для образцов с естественной концентрацией изотопа  $^{57}$ Fe были существенно меньше по сравнению с образцами, обогащенными до 95%. Наиболее сильные сигналы наблюдались от ядер подрешетки c. На рис. 1 приведена зависимость амплитуды сигналов спинового эха для подрешетки c ( $4f_1$ ) от времени задержки между первым и вторым возбуждающими импульсами  $\tau_{12}$  при 77 K.

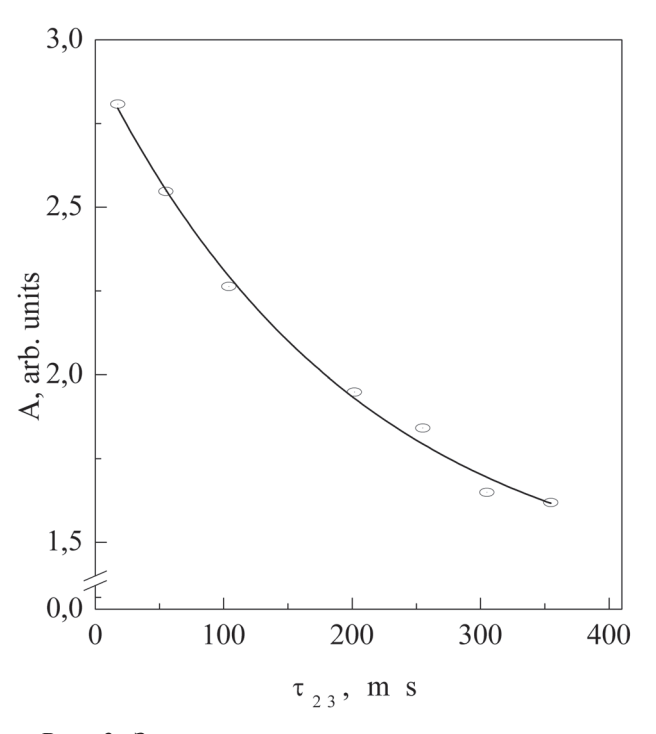
Определенное по данным, приведенным на рис. 1, с помощью соотношения (2) значение  $T_2=8.8\,\mathrm{ms}$  приведено в табл. 1.

На рис. 2 приведена зависимость амплитуды сигналов эха для подрешетки c ( $4f_1$ ) от времени задержки  $\tau_{23}$  между вторым и третьим возбуждающими радиочастотными импульсами для образца феррита с естественной концентрацией изотопа  $^{57}$ Fe при 77 K.

Определенное по этим экспериментальным данным с помощью соотношения (1) время  $T_1=0,57~{\rm s}$  приведено в табл. 2. В этой же таблице приведены также значения  $T_1$  и  $T_2$  для образцов с 95% концентрацией изотопа  $^{57}{\rm Fe}$ .



*Рис. 1.* Зависимость амплитуды сигнала спинового эха для подрешетки c ( $4f_1$ ) феррита BaM с естественной концентрацией изотопа <sup>57</sup>Fe от времени задержки  $\tau_{12}$  при 77 К.



*Puc. 2.* Зависимость амплитуды сигналов эха для подрешетки c (4 $f_1$ ) от времени задержки  $\tau_{23}$  для образца феррита BaM с естественной концентрацией изотопа  $^{57}$ Fe при 77 K.

Как следует из данных таблицы, величины  $T_1$  и  $T_2$  мало отличаются для обогащенных и необогащенных образцов.

Скорость поперечной релаксации  $T_2^{-1}$  можно

представить как сумму нескольких вкладов [3]

$$T_2^{-1} = 2T_1^{-1} + T_{26}^{-1} + T_2^{-1} \tag{4}$$

где  $2\,T_1^{-1}$  — слагаемое, связанное с процессами спинрешеточной релаксации,  $T_{2s}^{-1}$  — слагаемое, обусловленное сул-накамуровским взаимодействием,  $T_{2\delta}^{-1}$  — слагаемое, обусловленное низкочастотными флюктуациями продольного, относительно оси квантования, магнитного поля. Величина  $T_{2s}^{-1}$  зависит от концентрации ядер  $C_P$  на которых наблюдается ЯМР [4]

$$T_{2s}^{-1} \sim \sqrt{C_I} \tag{5}$$

При определяющем факторе сул-накамуровского взаимодействия с увеличением концентрации изотопа  $^{57}$ Fe в 45 раз для обогащенных образцов время релаксации должно увеличиться приблизительно в 7 раз. По данным табл. 2 видно, что скорость и, соответственно, время спин-спиновой релаксации как обогащенного, так и не обогащенного ферритов мало различаются. Это свидетельствует о том, что вклад сулнакамуровского взаимодействия в  $T_2$  в гексаферритах типа М мал.

Работа выполнена при поддержке фонда фундаментальных исследований МОН Украины (№ ГР 0109 U001430).

Таблица 1 Частоты ЯМР (в МНz) подрешеток в образцах феррита  ${\rm BaFe}_{12}{\rm O}_{19}$  с естественной концентрацией изотопа 57Fe и обогащенных при температуре 77 К.

_	Феррит		
Подрешетка	Обогащенный	Необогащенный	
а	70,22	70,22	
С	72,38	72,38	

 ${\it Таблица~2}$  Время релаксации  $T_1$  и  $T_2$  при температуре 77 К для ядер  $^{57}$ Fe подрешетки a образцов BaM с различной концентрацией изотопа  $^{57}$ Fe.

Концентрация <sup>57</sup> Fe	$T_1$ , s	T <sub>2</sub> , ms
95%	0,64	11
2,21%	0,57	8,8

- 1. Петров М.П., Куневич А.В. Изв. АН СССР, сер. физ. 35, № 6. С 1090 (1971).
- 2. Туров Е.А., Петров М.П. Ядерный магнитный резонанс в ферро- и антиферромагнетиках, М: Наука. (1969), 165 с.
- Петров М.П., Смоленский Г.А., Леманов В.В. Физика магнитных диэлектриков, Л: Наука. (1974), с. 177-299.
- 4. Иванов С.В., Куркин М.И. Динамические и кинетические свойства магнетиков. М: Наука, (1986), с. 223-245.